

D. Gabai より, knot complement 上の foliation の構成

阪大 理 1. 林 敏

§1.

1984年の暮、結び目理論の懸案下ある $\text{Property } R$ 予想及び Poenaru 予想が D. Gabai により肯定的に解決された。この際、本質的な役割を果たしたのが S^3 の knot complement 上の foliation の存在定理である:

定理 (Gabai) $K \in S^3$ 内の非自明な結び目, $S \in K$ の minimal genus Seifert 膜とする。この時, K の complement $S^3 - N(K)$ 上の taut, finite depth foliation \mathcal{F} 下次のようなものがある。

1. S は \mathcal{F} の leaf.
2. $\mathcal{F}|_{\partial N(K)}$ は transverse に交わる。また $\mathcal{F}|_{\partial N(K)}$ は, foliation by circles.

本稿では、上の定理の証明の概略を述べる事にする。尚、Gabai 自身の論文 [G2] も存在するので詳しくは、そちらを参照されたい。

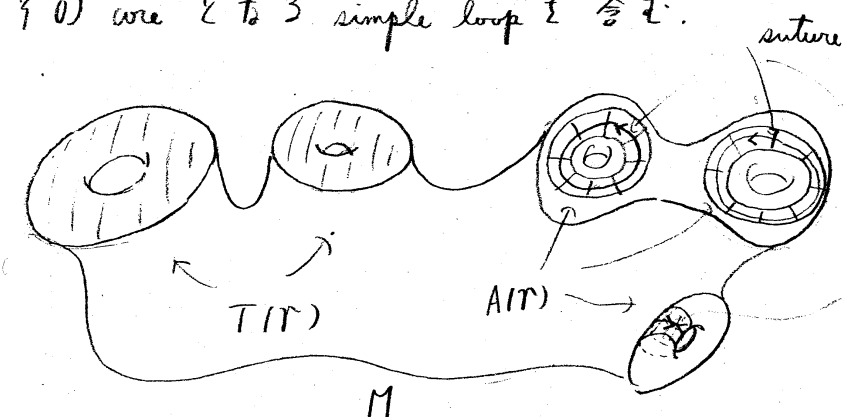
§1. 準備.

この節では、[G1] の結果のうち後で必要となるものと紹介しておく。用語等については Hempel [H], Gabai [G1] を参照されたい。

以下、 $M \in \text{compact, oriented 3-manifold}$ とする。

定義. 組 (M, τ) が sutured manifold とは、

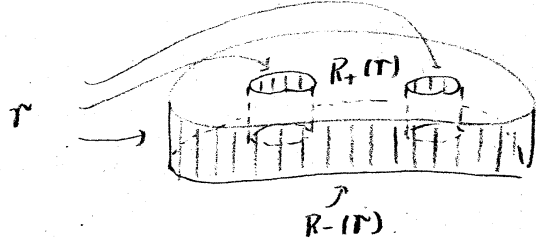
- (1) τ : a set of pairwise disjoint annuli $A(\tau)$, and tori $T(\tau)$
- (2) $A(\tau)$ の各成分は suture と呼ばれる, 向きのついた, 4D curve 2 to 3 simple loop を含む。



- (3) $R(\tau) = \partial M - \overset{\circ}{\tau}$ の各成分には, 向き加入, 7 113。特に 4D 曲線 τ の normal vector が外向き (内向き resp.) の τ の全体の和を $R_+(\tau)$ ($R_-(\tau)$ resp.) と書く。

- (3') (product sutured mfd.). $S \in \text{compact surface} \cap \partial S \neq \emptyset$ とする。この時, $M = S \times [0, 1]$, $\tau = \partial S \times [0, 1]$,

$R_+(\Gamma) = 5 \times 313$, $R_-(\Gamma) = 5 \times 103$ とするば sutured mfd. (M, Γ) が得る。



定義. \mathcal{F} : a codimension 1 foliation of M . L : a leaf of \mathcal{F} とする。

二の時. L 及び \mathcal{F} の depth $\leq k$ の定義。

L : depth 0 $\Leftrightarrow L$: compact

depth $j \leq k$ leaf が定まれば L とする。二の時

L : depth $k+1 \Leftrightarrow \bar{L} - L$: a union of depth $j (\leq k)$ leaves, $\bar{L} - L$ は, depth k leaf を含む。

また. \mathcal{F} : depth $k \Leftrightarrow k = \max \{ \text{depth } L \mid L: \text{a leaf of } \mathcal{F} \}$.

注意. leaf 及び foliation の depth は. 一般に定義出来るのは, 限る事。

定義. (M, Γ) : a sutured mfd. とする。二の時:

(M, Γ) : tant とは. $\bullet M$: irreducible, $R^U \cdot R(\Gamma)$: norm minimizing in $H_2(M, \Gamma)$ なる事。

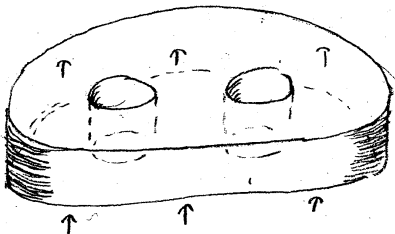
$(H_2(M, \Gamma))$ の norm ≤ 211 なら. Gabai [G1], or Thurston [T] 参照)

(1)

定義. \mathcal{F} : a transversely oriented codim. 1 fol. a sutured mfd. (M, Γ) とする。二の時, \mathcal{F} が tant とは, 次を満たす事とする。

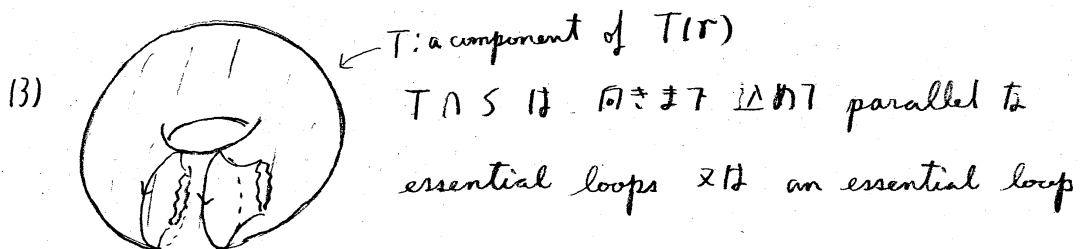
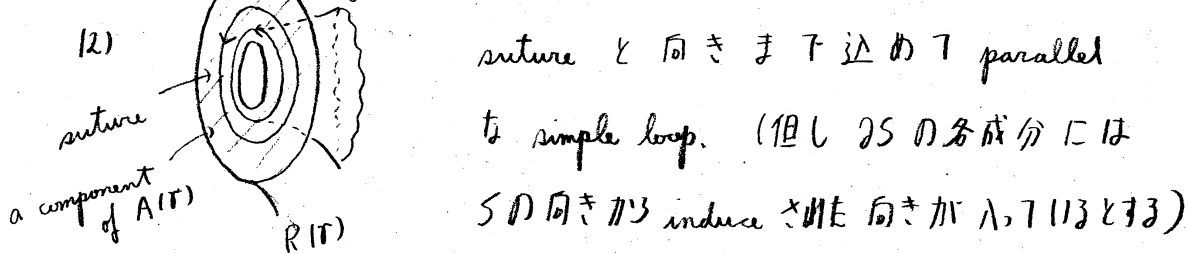
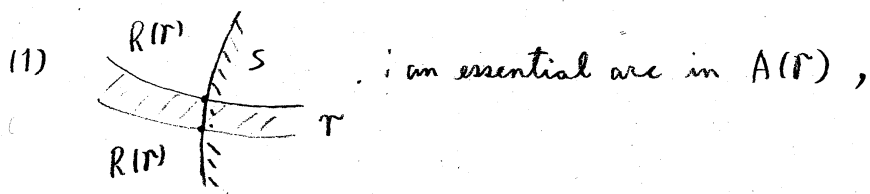
- 1) γ は, T に對し T 橫斷的,
- 2) γ は, $R(T)$ が tangent, γ の normal direction $R_{\pm}(T)$
 $(R(T), \text{resp.})$ 下外向き (内向き resp.).

例) Product sutured mfld. 上の product foliation は, taut



1.1) T sutured mfld. decomposition & T sutured mfld. hierarchy を定義

1.3. また, $(M, \tau) \in$ a sutured mfld. S が a properly embedded oriented surface in M . $T = S \cap \tau$ の各 component T , $R(T)$ が下外向きか下内向きかを定義する.

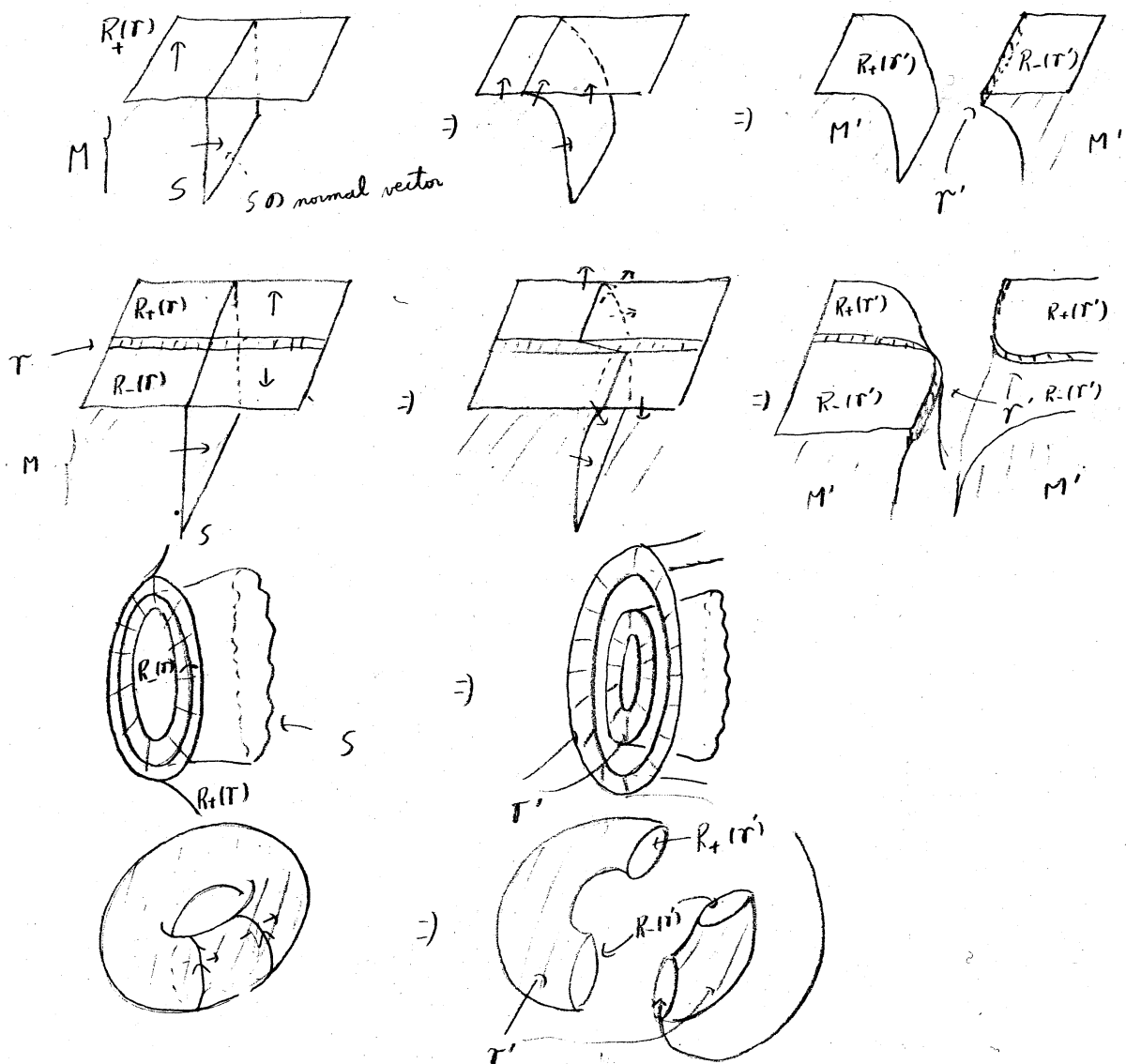


$\Rightarrow \text{① 時. sutured mfd. decomposition } (M, T) \xrightarrow{S} (M', T') \in \Sigma$

\mathcal{R} の定義 3.

• $M' = M - N(S)$

• T' は, \mathcal{R} の \mathcal{F} に定義 3.



定義. sutured mfd. (M, T) が decomposable \Leftrightarrow 1. sutured mfd. decomposition ① sequence:

$$(M, \tau) \xrightarrow{S_1} (M_1, \tau_1) \xrightarrow{S_2} \cdots \xrightarrow{S_m} (M_m, \tau_m)$$

$\tau = (M_m, \tau_m)$ が a product sutured mfd. となるようなもののが存在する事とする。またこの sequence の二つを a sutured mfd. hierarchy と呼ぶ。

sutured mfd. hierarchy の存在に関する結果がある。

定理 ([G1]) (M, τ) が connected taut sutured mfd. とすると。

また M が rational homology sphere の時は, essential torus を含むとする。この時 (M, τ) の sutured mfd. hierarchy $(M, \tau) \xrightarrow{S_1} (M_1, \tau_1) \xrightarrow{S_2} \cdots \xrightarrow{S_m} (M_m, \tau_m)$ で " V : a component of $R(\tau_i)$ とすると $S_{i+1} \cap V$ は, 同じまたは k parallel to b ($k \geq 0$) 本の non-separating simple closed curves, or arcs." となるものがある。

証明の概略

以下 §1. 以下の定理の概略を述べる事にする。尚、各定義, Lemma の後につけた番号は、全て Gabai の論文に合致したのを除くに欠番がある事を予めお断りしておく。

§3.

以下 M が knot K の exterior $S^3 - N(K)$ とすると。

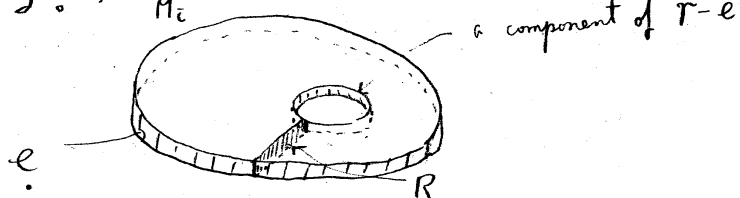
定義 3.2. $(M, \partial M) \xrightarrow{S_1} (M_1, \Gamma_1) \xrightarrow{S_2} \dots \xrightarrow{S_m} (M_m, \Gamma_m)$: a sutured mfd.

hierarchy $\leq \neq 3$. \leq の時 boundary suture $E_i \subset \partial M_i \Sigma \mathbb{R}$ のよつて定め3。

$$\left\{ \begin{array}{l} E_0 = \partial M \\ E_i : \end{array} \right.$$

E_i : the union of those components of $E_i - N(S_i)$ which are annuli and tori

II $\not\equiv e$: a component of boundary suture $\leq \neq 3$. \leq の時, e boundary parallel ≤ 1 , \mathbb{R} のよつて rectangle R の存在 $\neq 3$ 事 $\leq \neq 3$.



Notation 3.3. (M, Γ) : a sutured mfd.

E : a distinguished set of annular component of r $\leq \neq 3$. \leq の時 sutured mfd. $(\hat{M}, \hat{\Gamma}) \Sigma \mathbb{R}$ のよつて定め3。

\hat{M} : mfd. obtained by attaching 2-handles to M along each comp. of E

$$\hat{\Gamma} = r - E$$

\mathbb{R} の Lemma の証明は, [G1] の中下定義 \times 定義 3.3 で sutured mfd. complexity Σ 用いた議論を要するの下二二下は, 省略 $\neq 3$ 。

Lemma 3.6. $(M, \partial M) \vdash \text{at least 1 7 sutured mfd. decomposition of sequence}$

$$(M, \partial M) = (M_0, \Gamma_0) \xrightarrow{S_1} (M_1, \Gamma_1) \xrightarrow{S_2} \cdots \xrightarrow{S_m} (M_m, \Gamma_m)$$

下記のようなものが存在する。

- 1) S_i is connected, $[S_i] \neq 0 \in H_2(M_{i-1}, \partial M_{i-1})$,
- 2) V : a component of $R(\Gamma_{i-1})$ とする $S_i \cap V$ は、向きを τ
込 τ parallel to non separating simple closed curves, or arcs.
- 3) $E_{i-1} \cap S_i$: a union of simple closed curves,
- 4) $\hat{\partial M_m}$: a union of 2-spheres.
(\hookrightarrow distinguished nature \Leftarrow $E_m \in \Sigma$.)

Remark: 結果的には、上の decmp. は (少し変形して) sutured mfld. hierarchy に
たどり着く事が示される。

§4.

K : a knot in S^3 とする。

Convention 4.1. S^3 内の 2 点 $x, y \in \text{fix } f_3$.

この時 $S^3 - \{x, y\}$ は、 $S^2 \times \underline{\mathbb{R}}$ と同相。

また S^2 内の 1 点 $z \in \text{fix } f_3$ と $\underbrace{(S^2 - \{z\}) \times \mathbb{R}}_{\cong \mathbb{R}^2 \times \mathbb{R} = \mathbb{R}^3}$



いまこの第2成分への射影 $h: \Sigma \rightarrow \mathbb{R}$ は height function とする。また Q_x ($x \in \mathbb{R}$) は (Σ の height τ の) level x -sphere (or plane) を表す。また level planes [τ] $S^2 - \{x\}$ on $(S^2 - \{z\}) \times \mathbb{R}$ の foliation Σ と表す。

定義 4.2. $f: S^1 \rightarrow S^3$: a presentation of K (i.e. f は embedding,
 $\text{Image}(f) = K$) 且 $h \circ f$ が Morse function であるものとする。

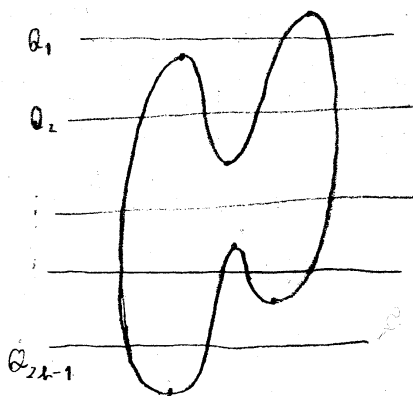
いま $h \circ f$ の critical point は、2 個あるとし、それは

全 ℓ 個の level にありとする。 $Q_1, \dots, Q_{2\ell+1}$ を critical point の間にある level planes とする。

この時、 K の width, $w(K)$ を

次下定める。

$$w(K) = \min \left\{ \frac{1}{2} \sum_i |Q_i \cap f^{-1}(S')| \right\}$$



また、 f が $w(K)$ を実現したとする時、 f は、thin presentation であると言つ。

定義 4.4. M' が M -mfld. $\ell \neq 3$: M' 上の p -dim. lamination L は、 M' の closed subset N の分割 $N = \bigcup L_\alpha$ (L_α : connected) で \mathcal{K} の条件を満たす。

$$\varphi = (q_1, \dots, q_m)$$

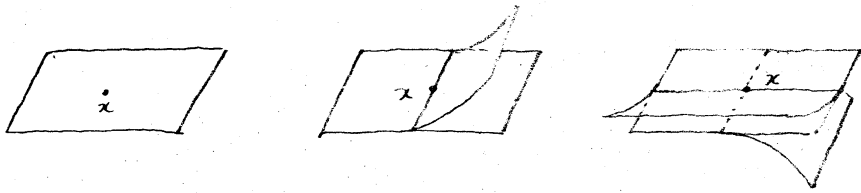
$\forall x \in M'$, $\exists (U, \varphi)$: local coordinate of x s.t. $\forall L_\alpha \subset x \cap (\bigcup L_\alpha)$

① $\&$ component は、 $\{j \in U : q_j(j) = \text{const}, \dots, q_{m-p}(j) = \text{const}\}$ の形。

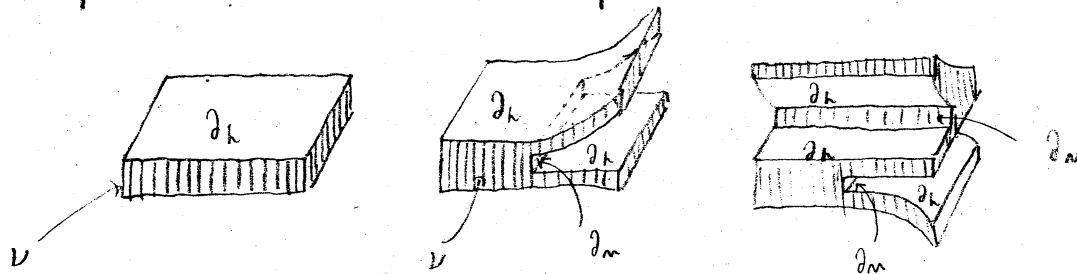
$\underbrace{\text{また } \bigcup_{L_\alpha} \text{ の } U \cap L_\alpha}_{\text{の }} \&$ component は basis $\ell \neq 3$ topology の λ が

$= 0$ で L_α の leaf topology と θ 。

定義 4.7. 3-mfld. M の branched surface (with generic branched locus) B は、各点 $x \in B$ の M のよつて local model で \mathcal{F} の M の subspace



また B は、次のように表わす事も出来る。 M 内の 3-dim. submfld. $N(B)$ 下次のように各 leaf が $I = [0, 1]$ 下あるよう to foliation



V をもつものと考えよ。この時、 V の各 leaf が 1 点につき 3 次操作を ~ 表わすと $M/\sim \cong M$, すなは M/\sim 内下の $N(B)$ の image が B である。又、 $\partial N(B)$ は V と transverse to 部分と tangent 部分に分成される下、 ∂V は $\partial_h N(B), \partial_v N(B)$ と表わす事にする。この $N(B)$ が B の fibered mfld. と呼ぶ。

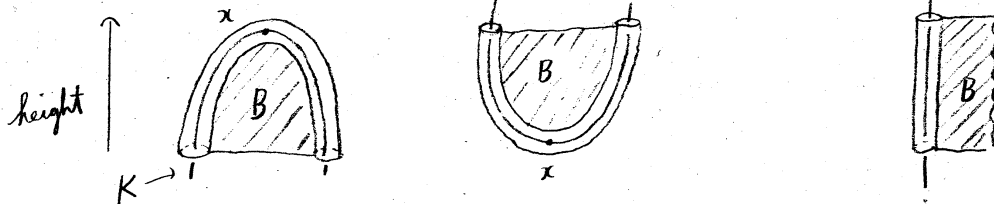
また、 M 内の lamination L が B によ、 L carry \times_m とは、 B の fibered mfld. $N(B)$ 下、 $L \subset N(B)$ かつ " L は V に transverse" たる L の存在する事とする。 L が B によ、 L fully carried とは " L が B によ、 L carry \times_m かつ " V の各 leaf は L と交わる" 事とする。

定義 4.8. $M = S^3 - N(K)$ 内の branched surface B が normal form にあるとは、次の条件 1) ~ 6) の条件を満たす事とする。

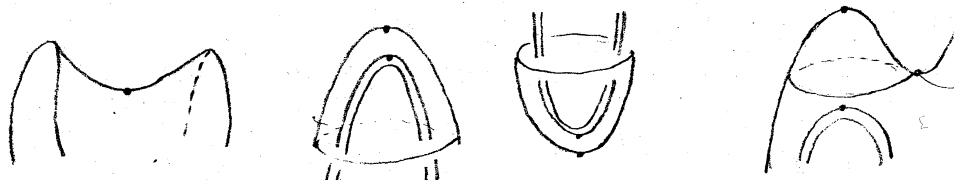
1) K は、thin presentation.

2) B は $N(K)$ の近くで \mathcal{H} の状況:

- $x \in K$ が local max. or min. の時
- それ以外の時

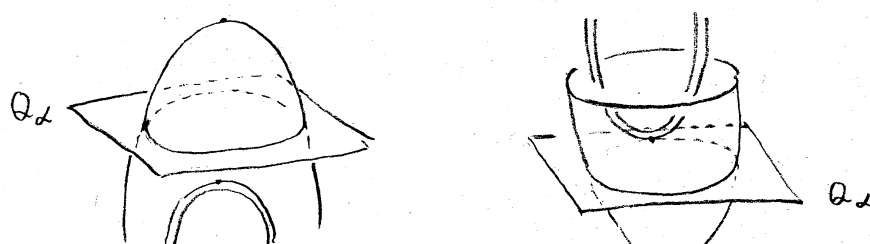


3) B は, isolated to 'saddle' もしくは 'knot K の local max. or min. もしくは center' で \mathcal{H} 除して \mathcal{H} は transverse



これは normal form \mathcal{H} です

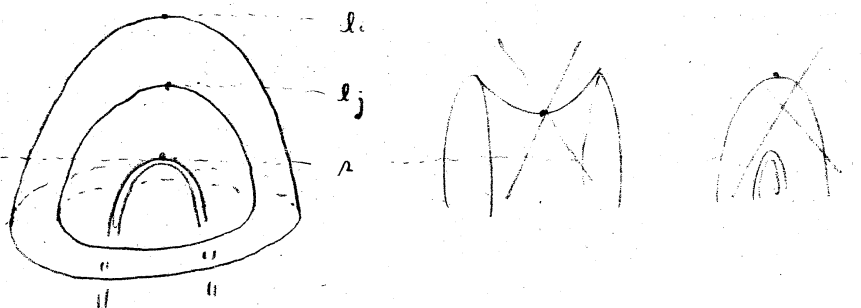
4) horizontal plane Q_2 で " $Q_2 \cap B$ の a component C が $Q-B$ の disk component で bound す" 様なものが存在してとすると
center は 3) の状況の一部。即ち Q_2 が上げ (or 下げ) で \mathcal{H} と contact したり, Q_2 が下げ (or 上げ) で \mathcal{H} と knot の local max. (or min.) に接する。



5) z_1, \dots, z_r : points of tangency of B with \mathcal{H} と \mathcal{H} .

z_i の height は l_i と \mathcal{H} と \mathcal{H} の時 l_1, \dots, l_r は, K の local max. or min. とは異なり, 互いに相異なり \mathcal{H} に level 产生する。

また $\Sigma \in \text{height } s \cap K \cap \text{local max. (or min.)} \in \Sigma \text{ の center}$
 $\Leftrightarrow z_j$. この時 $s < l_j < d_i$ (or $d_i < l_j < s$) $\Rightarrow z_j \notin l_i$
 \Leftrightarrow 同じ $K \cap \text{local max. (or min.)} \in \Sigma \text{ の center}$.



6) height fun. It is Morse function f , $\#$ of critical points $\#$, $K \cap$ critical points \Leftrightarrow discrete level T has $\# = 3$.

定義 4.9: $M = S^3 - N(K)$. 内の lamination L の normal form は $\# = 3$

とは、次の条件 1) ~ 5) を満たす事 \Leftrightarrow

1) K は, thin presentation,

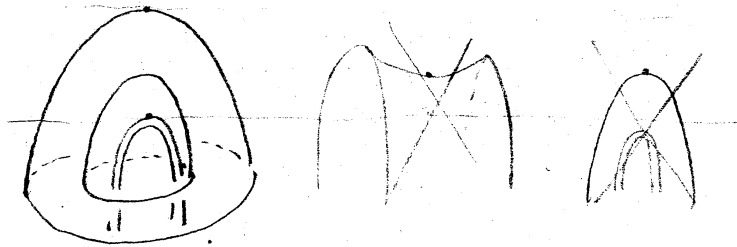
2) $L \cap N(K)$ の近くで 4.8.2) と同じ状況

3) $L \in$ a leaf of L \Leftrightarrow L は (leaf topology T) isolated to
 'saddle' 又は, 'K の local max. or min. $\in \Sigma$ の center' Σ
 除 $1 \cap 2$ が transverse

4) horizontal plane $Q \times T$ " $Q \times L$ の a comp. of T $Q \times L$ の disk
 component \in bound $\# = 3$ " 様なものが存在して \Leftrightarrow

= M は 3) の状況の一部.

5) (4.8.5) に 対応する条件)



\mathcal{R} の Proposition 12, 定義 4.8, 4.9 より直ちに従う.

Proposition 4.10. $\Pi \neq$, lamination $L(M)$ は, normal form である branched surface $B \in \mathbb{F}_7$ carry $\times M^3$ と $\#_3$. 二の時 L は, normal form である lamination と isotopic.

定義 4.13. $B \in$ oriented 3-mfld. P 内 \mathbb{D} transversely oriented branched surface $\subset \mathbb{F}_3$. 二の時 $S(B) = (M, \tau)$; sutured mfld. defined by $B \in \mathbb{R}$ で定めよ.

$$M = P - N(B)$$

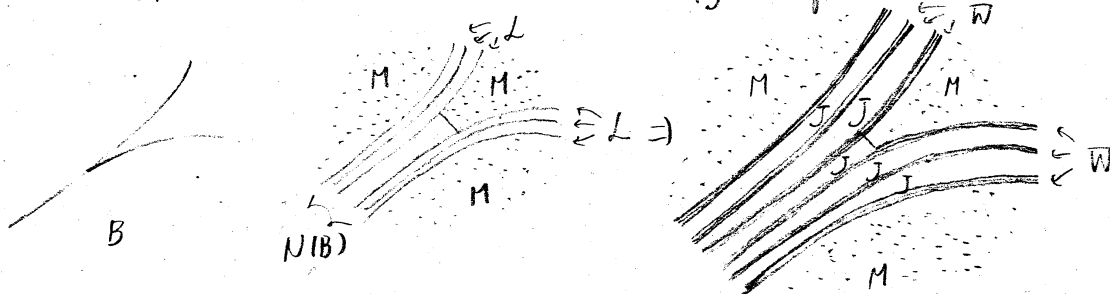
$$\tau = \partial_m N(B)$$

$R(\mathbb{D}) = \partial_b N(B)$, $R_+(\mathbb{D}), R_-(\mathbb{D})$ は. $B \cap \mathbb{D}$ orientation $\#_3$ 自然に定まる.

$N(B)$ は, $I \in \mathbb{F}_3$ fibration v をもつ事と $B \in$ carry $\times M^3$ lamination の定義及び定義 4.13 より $R \cap \mathbb{D}$ Proposition 12. 容易に証明出来る.

(finite depth)

Proposition 4.14. B : a branched surface in P , L : a lamination fully carried by B . \bar{W} : a lamination obtained by thickening L ($\not\subset S$).
 この時, $S(B)$ は \bar{W} の complement が natural \sqsubset 境の上に J (すなはち $R(M) \subset J\bar{W}$)。また $J = P - (\bar{W} \cup M)$ は V/J が fibration ($\not\subset S$)



4.15. sutured mfd. decomp. seq. から 3 の branched surface の構成

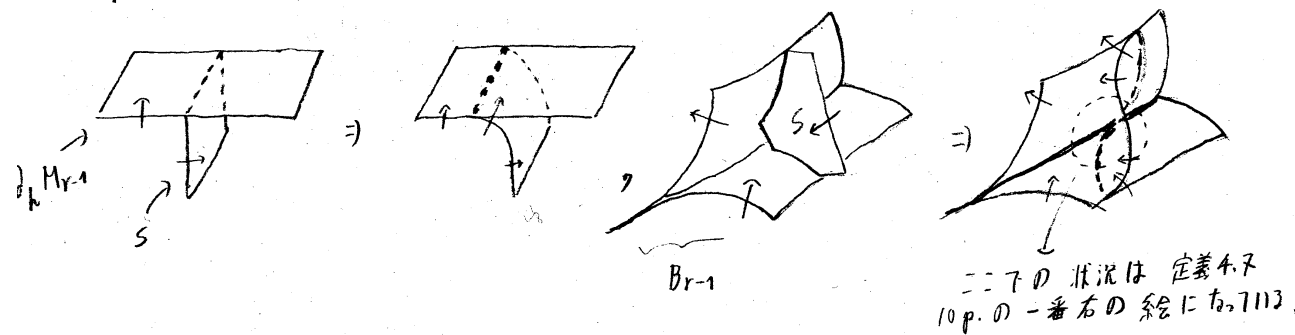
$(N, \partial N) = (M_0, T_0) \xrightarrow{S_1} (M_1, T_1) \xrightarrow{S_2} \dots \xrightarrow{S_m} (M_m, T_m)$: a seq. of sutured mfd.

decomp. $\not\subset S$. この時, N が proper \sqsubset 境の込まれた branched surface (with generic branched locus) B_i ($\sqsubset_{i=1, \dots, m} S(B_i) = (M_i, T_i)$) と右より左のものと \mathcal{R} のように帰納的に構成する

• $B_1 = S_1$

• B_1, \dots, B_{r-1} おいて $S(B_i) = (M_i, T_i)$ が定まるとして

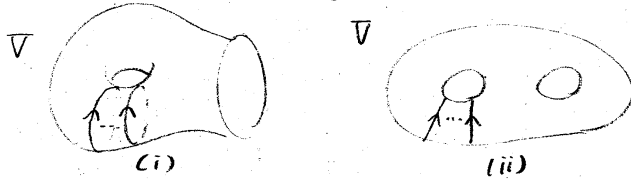
$S(B_{r-1}) = (M_{r-1}, T_{r-1})$ と S_r は $N - N(B_{r-1})$ が proper \sqsubset 境の込まれた surface. 従, $T B_r \sqsubset \mathcal{R}$ のように決めるにはよし。



4.16 Constructing finite depth lamination from sutured mfd. decom.

$(N, \partial N) = (M_0, T_0) \xrightarrow{S_1} (M_1, T_1) \xrightarrow{S_2} \cdots \xrightarrow{S_m} (M_m, T_m)$: a seq. of sutured mfd. decom.

Suppose: V : a comp. of $R(T_i)$ とすると $V \cap S_i$ は、向きま下辺の 7 parallel to non-separating simple closed curves, or arcs.

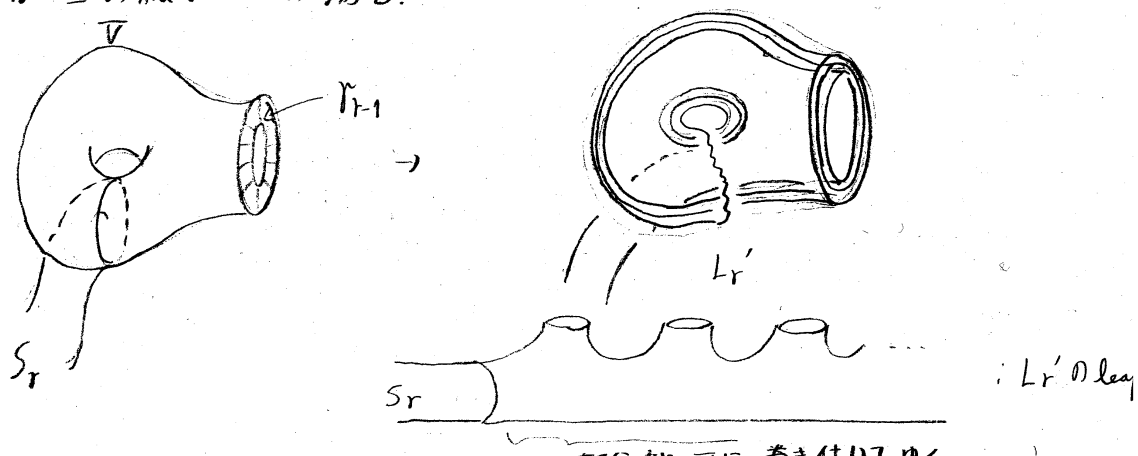


この時, L_i : finite depth lamination fully carried by B_i ($i=1, \dots, m$) を次のように帰納的に構成する。

- $L_1 = S_1$
- L_1, \dots, L_{r-1} が構成されたとする。この時 L_r も次のように構成する。まず 4.15 で得られる branched surface B_{r-1} から定まる N の分解 $M_{r-1} \cup W_{r-1} \cup J_{r-1}$ を考える。この時 $L_{r-1} \subset J_{r-1}$. いま

$S_r \subset M_{r-1}$ と考へ S_r の boundary $\in R(M_{r-1})$ の component ($\cap S_r$ と交わるもの)に巻き付けた事により lamination L'_r 7 T_{r-1} と横断的であるものを得る。

例えば上の絵の (ii) の場合。



J_r の部分は, (non-compact to) product sutured mfd. (④ 4.14) だから, L'_r は容易に N の lamination L_r を拡張する。また構成より明らかに L_r は finite depth 且つ fully carried by B_r .

Lemma 4.20. K : a knot in a thin presentation $M = S^3 - \overset{\circ}{N}(K)$

$(M, \partial M) = (M_0, T_0) \xrightarrow{S_1} (M_1, T_1) \xrightarrow{S_2} \cdots \xrightarrow{S_m} (M_m, T_m)$: a seq. of sutured mfd. decomp.

s.t. $\begin{cases} \cdot (M_i, T_i) : \text{taut} \\ \cdot S_i \cap E_i : \text{向き下さない且つ parallel to simple closed curves.} \\ \quad \xrightarrow{\text{see 3.2}} \\ \cdot V : \text{a component of } R(T_{i-1}) \text{ とすると } S_i \cap V \text{ は, 向き下さない且つ parallel to simple closed curves or arcs.} \end{cases}$

L : 上の seq. より 4.16 ① にし T 定まる lamination. とする。

この時, 新しく 1) a seq. of sutured mfd. decomp.

$(M, \partial M) = (N_0, \delta_0) \xrightarrow{T_1} (N_1, \delta_1) \xrightarrow{T_2} \cdots \xrightarrow{T_m} (N_m, \delta_m)$ で N_i と δ_i の加算 3.

(see 4.15)

1. B_1, \dots, B_m : (N, δ) -seq. $\#$ 3 定まる branched surface とする L

且つ fully carried by B_m

2. (N_m, δ_m) が product disk, or annulus なら, T 切り開く事により

(M_m, T_m) が product sutured mfd. が得られる (product disk, annulus の定義は) [G2] 参照

3. B_1, \dots, B_m は, normal form (see 4.8) 従, $T, 4.10$ ②, L

は, normal form である。且つ L 。

Proof. Step 1. $(B_1 = T_1 (= S_1)) \in$ normal form に \models , T かつ \subset

$(N_0, \delta_0) = (M, \partial M)$, $T_1 = S_1$ とする。まず general position の議論により $S_1^{(S)}$ Σ \mathbb{R} のよろな位置に \models , T かつ \subset 。

• S_1 は, K の近く \subset normal form (i.e. S_1 は, 4.8 1) 2) Σ みたす)

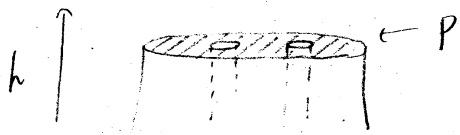
• S_1 は, \mathbb{R} の 3 つの状況を除く T かつ \subset 橫断的

saddle

center in normal form (see 4.8.4)

plateau P (i.e. $P \pitchfork S_1$ Σ embed \times M to surface T)

$P \perp T$, h は, const., また h は, P が local max., or min.)



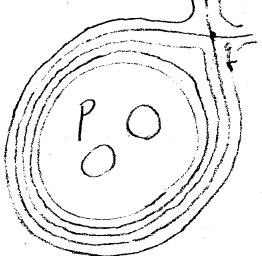
$\models T$. plateau P ($\subset S_1$) の近く T の S_1 の状況をみる。JP

の少し外 T は, foliation S_1 かつ Σ . product $\partial P \times I$ (leaf は ∂P が pt.) の

形に \models , T は \models が \models の条件により leaf Σ 外側に \models と, T かつ

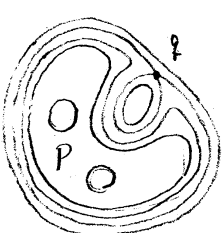
JP は必ず saddle に \models かかる事がわかる。この時に注意して

$P \Sigma \mathbb{R}$ の 3 つの types に分ける。



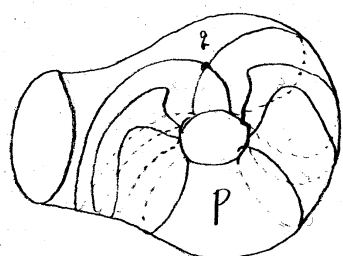
type I

JP 上の 1 点が pinch β_3



type II

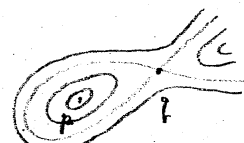
JP 上の comp. 上の 2 点が squeeze β_3



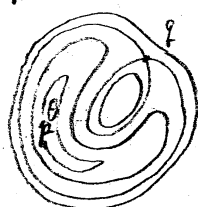
type III

JP の上に 墓がある comp. 上の 2 点が squeeze β_3 .

同様に各 center t, R のように type I, II に分けよ。

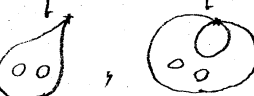


map
type I

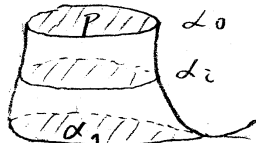


type II

この時, $F: P \times I \rightarrow S^3$ で $F(P \times \{0\}) = P$, $F|_{P \times (0,1)}$ embedding,

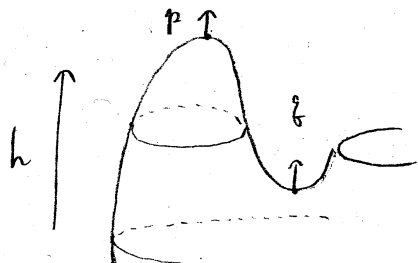
$F(P \times \{1\}) =$ , , or  となるものが存在する。

また $\alpha_i = F(P \times \{i\})$ とする (従, $T \alpha_0 = P$)。

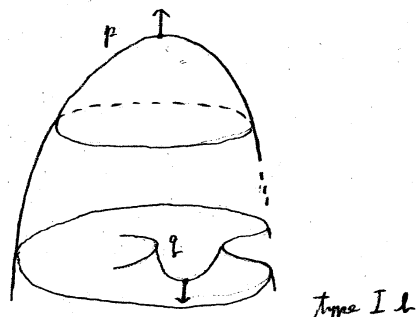


また type I, II は $P \cap P'$ と T の normal direction が一致するか

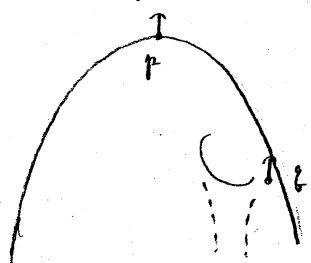
どうか下図に a型, b型に分ける。即ち:



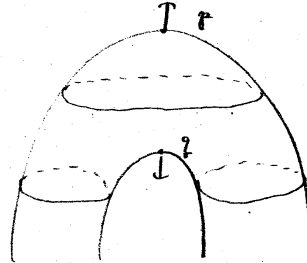
type Ia



type Ib



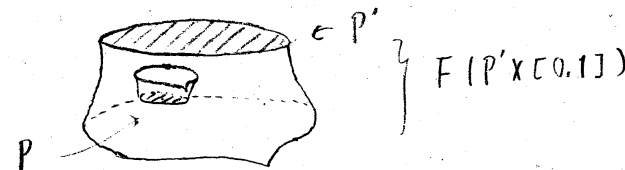
type IIa



type IIb

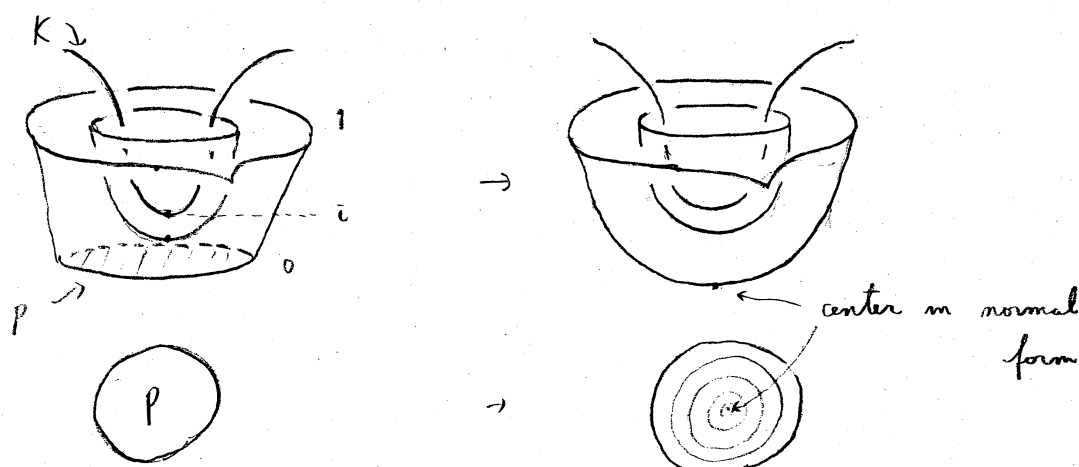
以上の状況の t と S の complexity (IS) を 3 (plateaus の個数) + 2 (centers の個数) で定める。また P' は local max.

下ある plateaus のうち最も高さの低いもの, $P \in F(PX[0,1])$ と
今までの plateaus のうち最も高さの高いものとする。(注:もし
 P' が存在しないければ P は local min. 下ある plateau 下最も高さ
の高いものとする。 P' と P が存在しない時は, 下の Case.7A
行く)



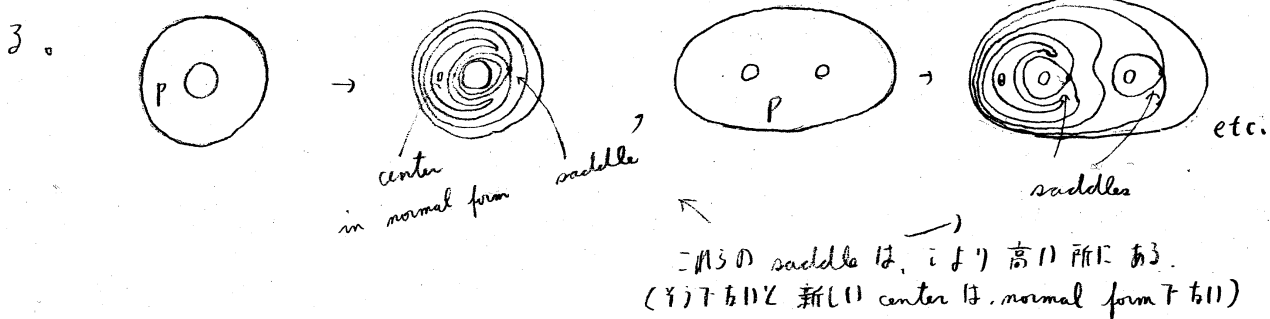
Case 1. $K \cap F(PX[0,1]) \neq \emptyset$

$i = \min \{ j \mid F(PX[0,j]) \cap K \neq \emptyset \}$ とする。即ち $F(PX[0,i]) \cap K = \emptyset$, $F(PX[i,1])$ は a local min. point of K . P が disk の時, S



上の図のように P の neighborhood を変形して complexity を下げる 3 つ。

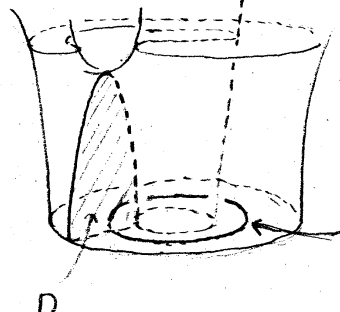
P が disk の時は K の上に S を変形して complexity を下げる 3 つ。



→
= A 3D saddle if, if it's high, then it has.
(Y) If it's new (1) center is, normal form + to 11)

以下, $K \cap F(PX[0,1]) = \emptyset$ とする。

Case 2 P is of type III



この時, 左の様に $D \cap S = 2D$ となる disk

D がとれる。 いま S 上の loop γ

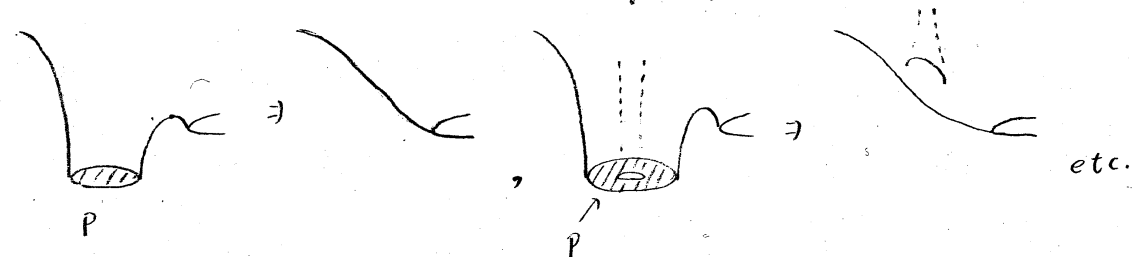
$2D$ と transverse に 1 点下交わるものが

存在するから $2D$ は, S 上の essential loop.

これは, S の min. genus に矛盾。

Case 3 P is of type Ia

この場合, R のように L^2 complexity が下がる事



Case 4. P is of type Ib

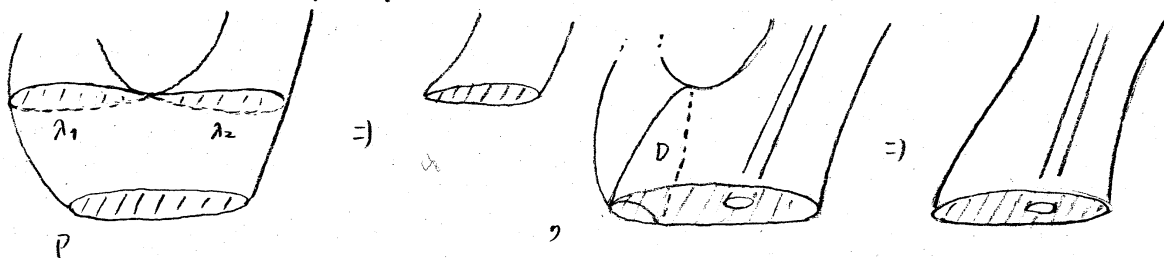


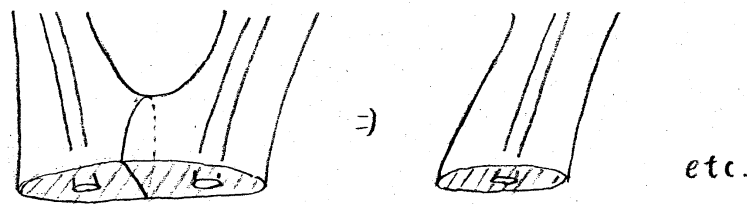
local min. とすると, P の取り方により R は center γ だけではなく
左右も。 他ち, この saddle の存在で $K \cap F(PX[0,1]) = \emptyset$
 γ 上の center γ , normal form γ だけが
存在する事

$F(PX[0,1])$ には

Case 5. P is of type IIb

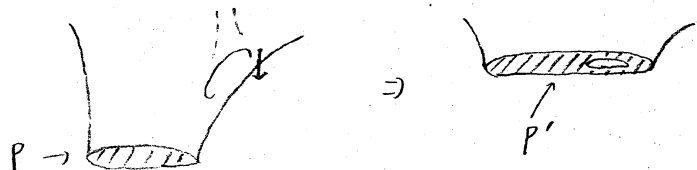
R のように L^2 complexity が下がる事





Case 6. P is of type IIb

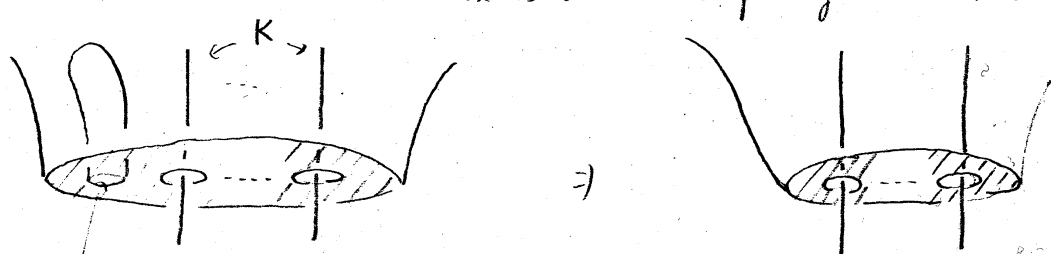
この時, P を次のように押し上げ γ し, γ 新しい plateau を作る。



注: この時 $|\chi(P')| = |\chi(P)| - 1$, また新しく得た γ surface β , S と同じ complexity をもつ。

この新しい surface に Case 1~5 の議論が適用出来れば complexity が下がる。もし適用出来ない場合は上と同様 surface 上の a plateau を押し上げて新しい plateau を作る。この方法で γ は complexity 加下がるから、 γ とする。この時, a surface 上の a plateau P_r で $|\chi(P_r)| > \underline{w(K)}$ のもののが存在する。
see 4.2

この時 ∂P_r の component γ surface 上の dish ε bound するものが出来るからこれを用いて γ のように complexity を下げるとある。



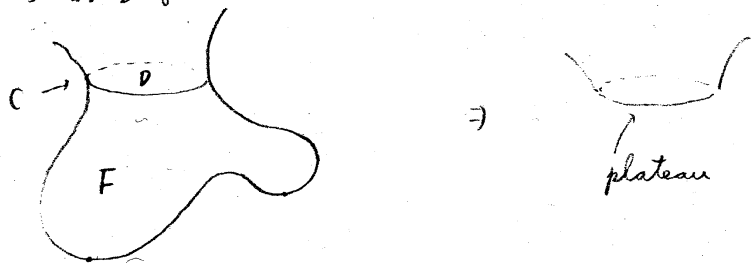
この中で K は適当な (\oplus def. of $w(K)$)

以上の考察により S の min. complexity にとれば S 上に

plateau は存在しない事がわかる。従って、 $T \cup S$ の normal form にあたる事を見るには、あと 4.8.4) の条件をみたす事を確かめる(11)。

Case F $\exists Q$: level plane, $\exists C$: a component of $Q \cap S$ s.t. C bounds a disk D in $Q - S$, C bounds a disk F in S s.t. F is not normal form

この時 次のように S を取り変える事によって complexity ε 下げられる。



(注: Gabai は、論文の中では Case F を上のよう取り扱う(11))
だが、実際には、Case F は起り得ないと思われる。

Step. 2

Lemma 4.21. B : a branched surface in normal form w.r.t. K s.t.

$S(B)$ is taut,

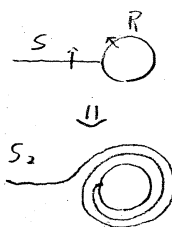
$S(B) = (M, \tau) \xrightarrow{S} (M', \tau')$: a sutured mfd. decomp. s.t.

- V : a comp. of $R(M) \Rightarrow S \setminus V$; 向きまつ向 ∂T parallel to simple closed curves or arcs.
- (M', τ') : taut

R : the components of $R(M)$ which intersects S ,

S_r : the properly embedded surface in M obtained by oriented cut and paste surgery with S and r parallel copies of R .

$(M, \Gamma) \xrightarrow{S_r} (M_r', \Gamma_r')$: sutured mfld. decomp. $\vdash M \vdash 3 \vdash M_3$



branched surface $\Sigma \in Br\mathcal{L} + 3$. (以上 M Lemma D 仮定)

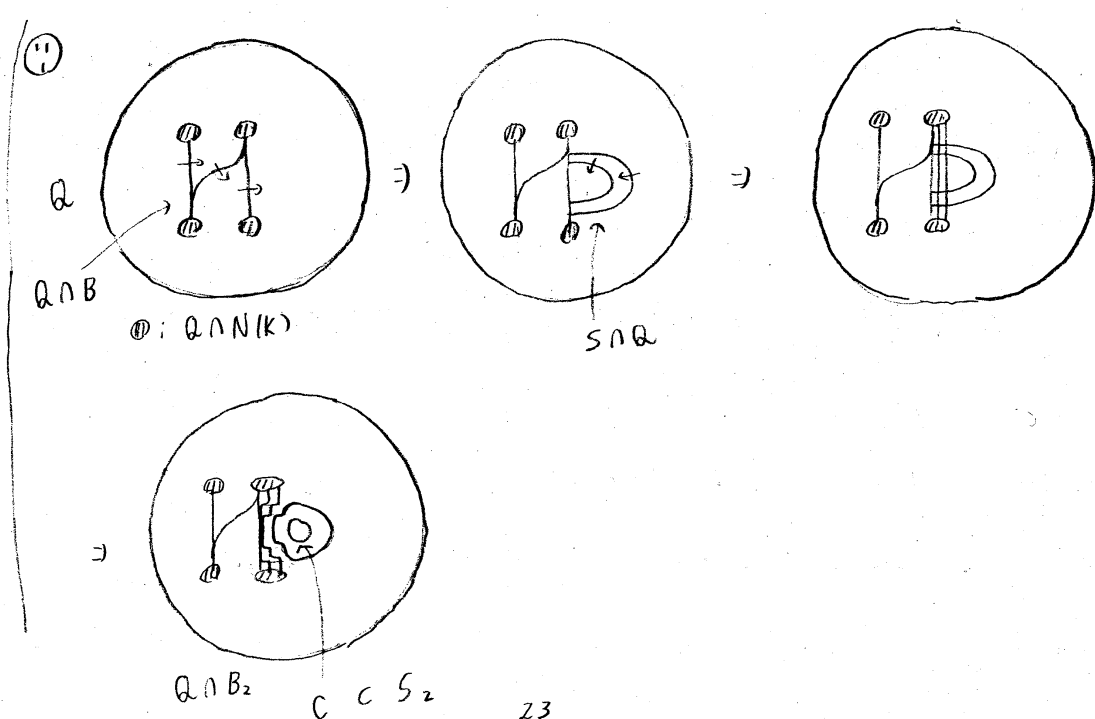
$\Rightarrow \exists r$ s.t. B_r rel Γ isotopy Γ branched surface in normal form Γ isotopic.

Proof. $S_1 \in \mathbb{R}$ のよ Γ isotopy Γ 動かす。

- ∂S は, B の saddle, center の nbhd. と disjoint.
- $h|_{\partial S}$ は. Morse fun. (centers in normal form)
- S は, isolated saddle, plateaus が Γ と 橫断的.
- B の branched locus は, Def 4.8 b) Σ で Γ す。

" $m \leq \frac{1}{2} \text{ 大きく } \text{ と } \text{ あれば}, \text{ 次のよ } \text{ うに出来 } 3:$

\circlearrowleft 33c
 $s > m$ $\cap B_s$ は smooth circle $C \cap Q - (B_s \cup N(K))$ の disk component
 \hookrightarrow a level plane
 Σ bound するよ Γ を Γ のを含む $\Rightarrow C \subset S_n$, or $C \cap B_s$ の
 Σ disk Γ center in normal form を含む よう Γ の Σ bound Γ 3"



m' : the number of plateaus and centers of S_m & $r = m+m' \leq 3$.

二の時, $\mathcal{B}_R = \{\text{centers and plateaus in } B_R \text{ which are contained in } S_m\} \leq \mathcal{B}_R$ の complexity $\leq C(\mathcal{B}_R) = 3|\text{plateaus}| + 2|\text{centers}|$ で定めれば、後は Step 1 と同様に議論が進行(7 Lemma が証明出来).

Step 3. (Proof of Lemma 4.19)

まず $S_1 \in \text{Step.1}$ を apply し 7 normal form $S_1^1 \in$ 得。7 通り。

$S_2 \in \text{Step.2}$ を apply し 新(1.1) sutured mfd. の seq. :

$$(M_0, T_0) \xrightarrow{S_1^1} (M_1, T_1) \xrightarrow{S_2^1} (M_2^1, T_2^1) \xrightarrow{S_3^1} (M_3^1, T_3^1) \xrightarrow{S_4^1} \cdots \xrightarrow{S_m^1} (M_m^1, T_m^1)$$

を得る。 $(S_1^1 \cup S_2^1)$ が 3 定理 3 branched surface で normal form で ≤ 7 通り

$R \in S_3^2 \in \text{Step.2}$ を apply する。以下二回とく返し 7 通り

Lemma 4.19 の sutured mfd. decomp. の seq. 得る。

Lemma 4.22. $L \subset S^3 - N(K)$: a finite depth lamination with incompressible leaves, \bar{W} : a lamination obtained by thickening L , (M, T) : a taut sutured mfd. embedded in $S^3 - (N(K) \cup \bar{W}) \Rightarrow (M, T), \bar{W}$ が isotopy で動かして R の $\pm \beta$ で level plane Q を見つける。

0) $Q \cap K \neq \emptyset$

1) Q は \bar{W} 内の有限個の saddles, centers を除く Q は横断的。

2) $\bar{W} \cap Q$ の component の数 $\leq Q - (\bar{W} \cup N(K))$ で disk が bound されるより左 $\pm \beta$ の高さ 1 個。

3) Q は M 上横断的。 $Q \cap T$ の各 arc component $\#$, T の

essential arc.

4) $Q \cap (\partial M - E)$ の各 component は, $\partial M - E$ が essential.

Proof. M を isotopy で動かして \mathbb{R} のようになります。

∂M は、有限個の saddles, centers を除いて level 2-spheres と 橫断的.

∂T は、有限個の critical points を除いて level 2-spheres と 橫断的.

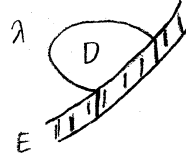
全ての tangency は、相異なる level にある。

$h \in K$ の local min. で最も高所にあるものの高さ, $\alpha \in K$ の local max. で h より高所にあるもののうち最も低いもの高さとする。



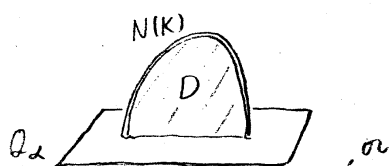
$h < d < \alpha$ とし $Q = Q_d$ とする。この時 $Q \cap E$ の各 component は, E の boundary nature で essential arc.

λ は component of $(\partial M \cap Q) - E$ とする。

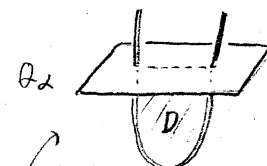


いま、 λ は $\partial M - E$ が inessential で $D \in \lambda$ が compressing disk とする。

この $Q_d, \lambda, D \in S^3$ の中で見ると \mathbb{R} の状況:



このように $Q_d \in \text{low plane}$



このように $Q_d \in \text{high plane}$ と呼ぶ。

$H(S^3)$ = $\{d \in [h, \alpha] \mid Q_d \text{ is a high (low resp.) plane}\}$ とおく。

Claim $[h, \alpha] + \bar{H} \cup \bar{S}$

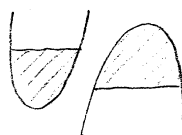
$[h, \alpha] = \bar{H} \cup \bar{S}$ とせよ。

Proof of Claim. まず I の事実に注意する

" I : an open interval of $[h, \alpha]$ s.t. $\partial M \cap Q_d$ ($\forall d \in I$) \Rightarrow ' $I \subset H$ or $I \cap H = \emptyset$ ' "

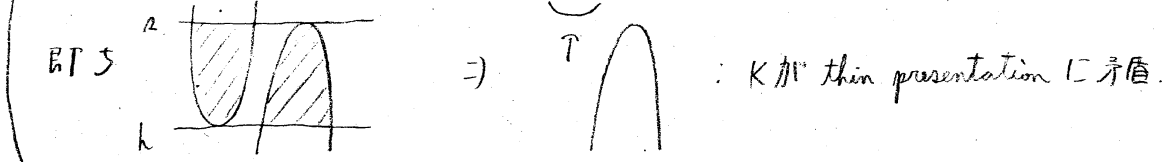
' $I \subset S \cap I \cap S = \emptyset$ ' また ' $h \in \bar{H}, \alpha \in \bar{S}$ '

II は Claim が成立しないとする。 既述,



この時 "存在 $\exists d \in [h, \alpha]$ 使得 Q_d は ∂M の tangent"

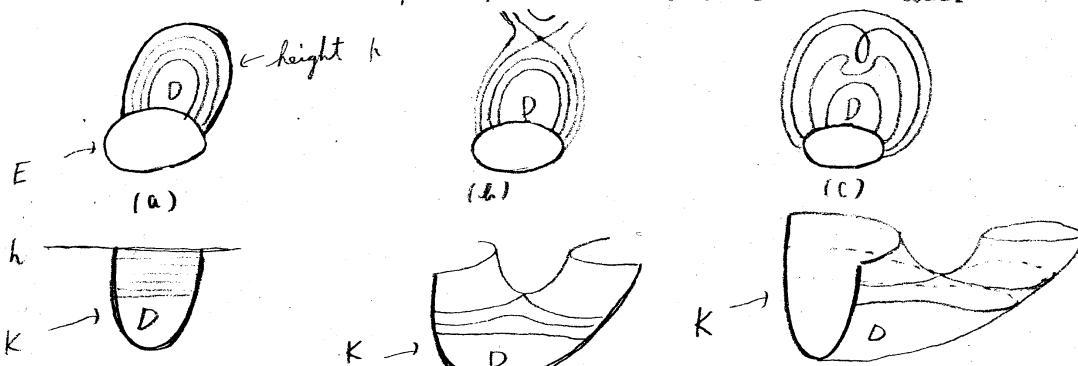
(1) Q_d , $Q_d \cap \partial M$ とする上の注意より $\bar{H} = \bar{S} = [h, \alpha]$.



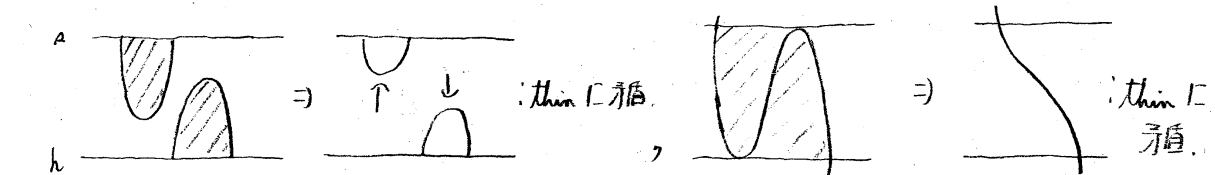
この時, $a \in (d-\varepsilon, d) \Rightarrow a \in H, a \in (d, d+\varepsilon) \Rightarrow a \in S$

II まではによ、 ∂M 上に induce foliation を考え 9.11 に依る。

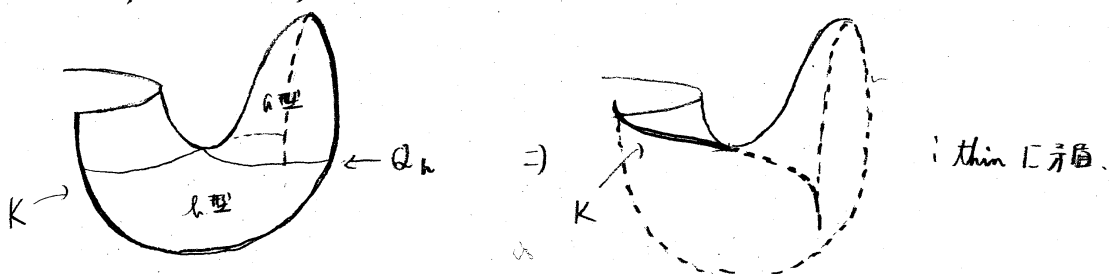
∂D の外側に在り、 ∂M 事により次の 3 つの場合を得る。



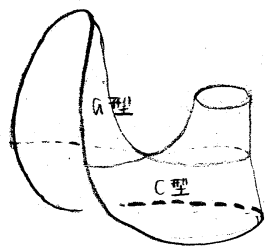
Q_d の上に A 型、下に A 型の disk がある時、次の 2 つの状況を得る。



A 型、L 型の時.



A 型、C 型の時.



即ち、この時 K は、unknot に矛盾。

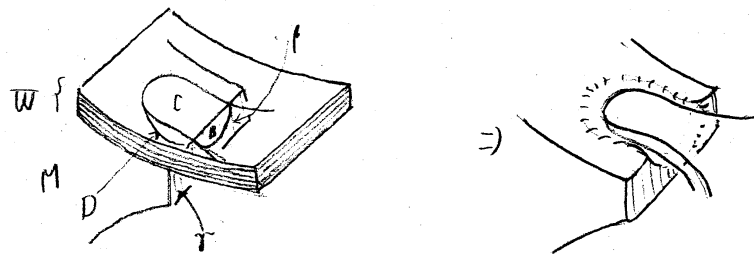
Q_α の取り方より A 型, C 型の組み合せはあり事がわかる。

以上, Claim の証明終り。

Claim. もり $\exists \alpha (h < \alpha < 0)$ s.t. $Q_\alpha \neq \text{high, low plane また } Q \cap L, Q \cap M$ とし $T \neq 11$. 以下この Q_α Lemma の条件とみて事とする。

まず L が normal form と 11 は O.K. h, α の取り方より 12 も O.K.,
 M の取り方より 14 も O.K. 従つ T , あく 13 をみてすように M を変形する。

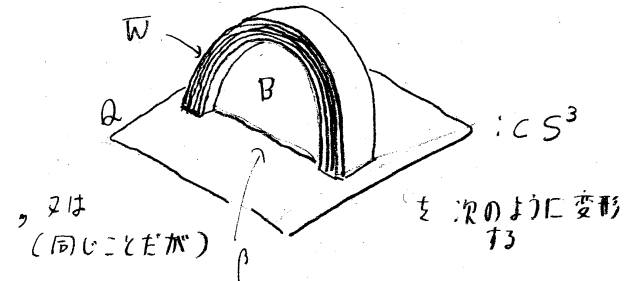
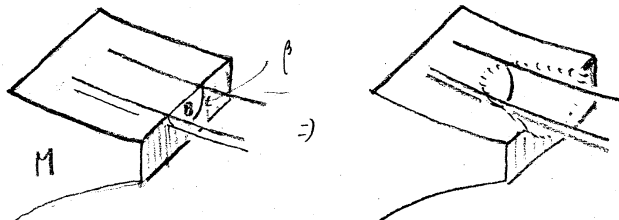
• β : a comp. of $Q \cap T$, $\beta \cap (Q \cap T)$ is a disk s.t. $\partial D \subset \partial W$, $D \cap \partial W = \emptyset$ とする。
 この時, 次のように M を isotopy で動かして β をはずしてしまおう。

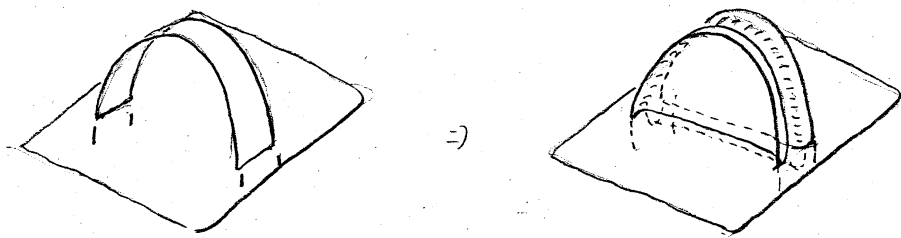


従つ, T $Q \cap T$ の各 comp. は, $Q - \overset{\circ}{W} T$ essential と $T \neq 11$.

• β : a comp. of $Q \cap T$, inessential in T , essential in $Q - \overset{\circ}{W}$ とする。

この時, 次のように W , M を動かして β をはずしてしまおう。





\vdash の時, $Q \cap W$ pattern は \mathcal{R} のように変化す。



以上より $Q \cap T$ comp. が essential なのは全 T 通り。

Lemma 4.24. $(S^3 - N(K), \partial N(K)) \rightsquigarrow (M_1, T_1) \rightsquigarrow \dots \rightsquigarrow (M_n, T_n)$ は seq. of sutured

mfd. decmp. s.t. $\vdash (M_i, T_i)$: tant $\vdash S_i \cap \partial N(K)$: a union of simple closed curves

$\vdash V$: a comp. of $R(T_{i-1})$ かつ $S_i \cap V$ は、向きまづめの parallel to non-sep.

simple closed curves, or arcs.

$\Rightarrow \exists Q$: level 2-sphere s.t. $\vdash Q \cap K \neq \emptyset$, $\vdash Q \pitchfork M$,

$\vdash Q \cap T$ ($Q \cap (\partial M - E)$ resp.) が comp. は, T ($\partial M - E$ resp.) T essential

$\vdash Q \cap M = \{f_1, \dots, f_r\} \cup D$, $D = \emptyset$, or a disk, $\sum_{i=1}^r \frac{|B(f_i) \cap T|}{4} - \chi(f_i) \leq |\partial N(K)| - 1$.

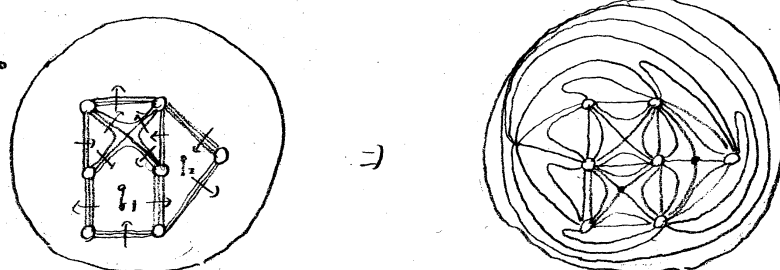
Proof. 4.16 より, $S^3 - N(K)$ 上の finite depth lamination L が定まる。

(M_i, T_i) : tant 且 L の各 leaf は, incompressible. 4.19, 4.10 且 L は,

normal form であるとして L と \vdash する。 $Q \vdash 4.22$ で得た M は level 2-sphere

とする。この時, $Q - N(K)$ 上の lamination $Q \cap L$ は \mathcal{R} のようになる singular

foliation となる。



$\Sigma = \mathbb{P}^1$ の singularity と index と Σ のよきに定めよ。



Σ の時 $\chi(\mathbb{P}^1 - N(K)) = \sum_i$ (index of singularities) (Poincaré-Hopf index formula)

$$\text{従って } \sum_{i=1}^r \chi(\mathbb{P}^1 - \frac{1}{2} K \cap \gamma_i) - \frac{1}{4} |K \cap \partial \mathbb{P}^1| = \sum_{i=1}^r \text{index } (\gamma_i \text{ 内の sing.})$$

$$\leq \sum_{i=1}^r \sum_{j: \gamma_j \cap \gamma_i \neq \emptyset} \text{index } (\gamma_j \text{ 内の sing.}) = 1 - |K \cap K|$$

§5

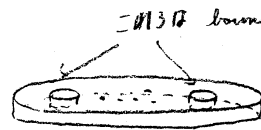
Lemma 5.1. K : a knot, $(S^3 - N(K), \partial N(K)) \xrightarrow{S_1} (M_1, T_1) \xrightarrow{S_2} \dots \xrightarrow{S_m} (M_m, T_m)$: a seq.

of sutured mfd. decomps. s.t. $(M, T) = (M_m, T_m)$: taut

• ∂M : a union of 2-spheres, • T_i : not a compressible torus, • $S_i \cap \partial N(K)$: union of circles,

• V : a comp. of $R(T_{i-1})$ とするとして, $S_i \cap V$ は. 向きまつた辺 D, T parallel to simple closed curves or arcs \Rightarrow $\mathcal{R}(D) \cap T$ が成立.

1) (M, T) : a product sutured mfd. 特に Σ の形は



2) $\exists P \subset (S^3 - N(K))$: a planar surface, $\exists Q \subset S^3$: a sphere s.t.

• $|K \cap Q| = \mu > 0$, • $P \cap \partial N(K)$: a union of $V (> 0)$ coherently oriented longitudes,

• $A = \partial P - \partial N(K)$: a simple closed curve s.t. $|A \cap Q| \leq \mu - 2$

• no component of $P - Q$ is a disk F with $F \cap Q$ connected

Q.E. Lemma 4.24
D.F.E. 23

Proof (of very special case.) $E = \{A_1, \dots, A_M\}$: boundary sutures

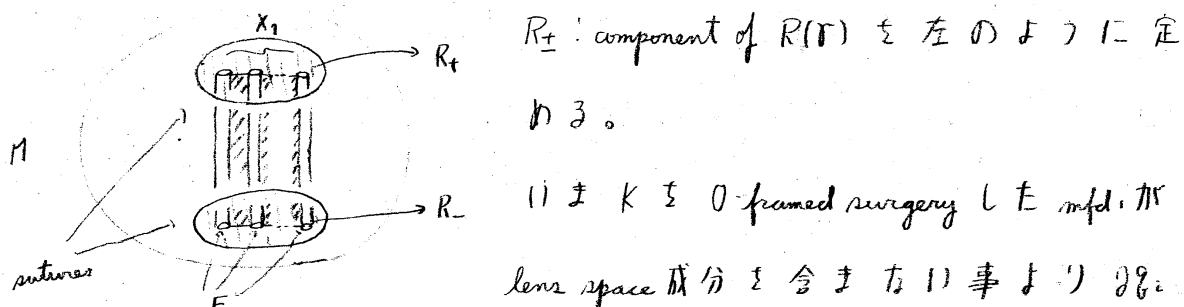
E の元の間に \mathcal{R} の relation \sim 生成する 3 equivalence relation $\Sigma \lambda$

例: $A_i \sim A_j \Leftrightarrow \exists D$ a rectangle of $Q \cap M$ $D \cap A_i \neq \emptyset, D \cap A_j \neq \emptyset$

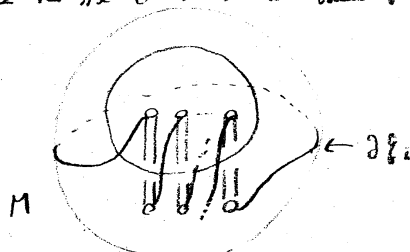


X_1, \dots, X_t 上の equivalence class. 1) 且 $t=1$ の時に Lemma を証明する
事とする。結論 1) が成立しなければとする。

" $|f_i \cap \Gamma| = 2 \Rightarrow f_i \cap (\Gamma - E) = \emptyset$, or $f_i \notin D^2$ " (注: $f_i \cap E \neq \emptyset$) とする。
See 4.24.



$\# f_i$ disk o.t.



D_{\pm} : the disk \hat{R}_{\pm} reduced in size to eliminate trivial intersections with Q (?)

とすると、従つ $\sum |f_i \cap \partial D_{\pm}| + \sum |f_i \cap \partial D_{-}| \leq 2 (|\partial f_i \cap \partial M|/4 - \chi(f_i))$

従つ Lemma 4.24 より $\sum |f_i \cap \partial D_{\pm}| + \sum |f_i \cap \partial D_{-}| \leq 2 \sum (|\partial f_i \cap \partial M|/4 - \chi(f_i))$
 $\leq 2 |\partial M| - 2 = 2(\mu - 1)$. 故に $D_{\pm} \cap M$ 及 $D_{-} \cap M$ が 3 P.

一般の場合についでは, Gabai [G2] 参照.

§6.

条件を全て満たす

Lemma 6.1. S^2 上には, \mathbb{Z}^2 のよろづ (label 1) グラフは存在しない

1). 1) G は $v+1$ vertices をもつ. そのうち v 個は,
 μ ($\neq 0$, even) 個の \square . 残りの vertex w は m ($0 \leq m \leq \mu-2$) 個

2) valency μ vertex から出る edges は. 時計方向に $1, 2, \dots, \mu-1$

\rightarrow labeling が左と右で同じ。

3)  一つの edge の両端に label がついたらどう時,
その一方は偶数で他方は奇数。

4) D: the closure of a comp. of $S^2 \setminus G$ which is a disk, $D \cap M = \emptyset$ の時
 $\partial D \subset \partial G$, 7 edge の label を読んでも < と > の形
 $(j, j+1, j, j-1, \dots, j, j+1) \bmod \mu$ と 11 の形ではない。

証明略。

§7. Proof of Theorem

Step 1. 3.6 より $(S^2 \setminus N(K), \partial N(K))$ が 3 始末 3 sutured mfd. decomp. の
seq. を得る。

Step 2. 4.20, Step 1 より $S^2 \setminus N(K)$ の finite depth lamination L を得
る。 L が $S^2 \setminus N(K)$ の foliation \mathcal{F} に拡張して 11 & 3 である。
この時 5.1 の結論 2) が成立し P, Q が存在する。 ところが
6.1 より 3) より P, Q は存在しない事わかる。 従って
 L は常に foliation \mathcal{F} に拡張する。

References.

[G 1] D. Gabai "Foliations and the topology of 3-mflds", J. Diff. Geom. 18 (1983), 445 ~ 503

[G 2] ————— "Foliations and the topology of 3-mflds II", preprint.

[H] J. Hempel, 3-mflds., Ann. Math. Studies 86.

[T] W. Thurston, "Norm on the homology of 3-mflds" preprint